

Array Processor について

日本IBM・サイエンティフィック・センター

飯坂 譲二

波谷 政昭

I はじめに

計算機の発達にはめでましいものがあり本稿性能の高
さは特に高性能化してい。一方高速、計算能力を必要とする
分野も広がっており現行の計算機の速度が必ずしも満足の
ものではなことは改めて述べるまでもない。例えば數値的に
大気循環のシミュレーションやスペクトル解析では大きな數
列を扱つてはるがその大きさは1つには計算速度によって制
限される事情にある。

この種の計算はデータ・アレイに付して同種の演算を一
通り行う性質かつよい。計算機の演算装置の進歩は、一つ
の装置自身の速度の向上はそれほど急速にないとはいな。
また、オペレーティング・システムの高性能化—マルチタスキング
等—に伴い、CPUの使用効率はたかまつである。汎用の

CPU の複数には $3 \times 1 = 12$ もしくは 1×12 の高々数個であり、多くの高速演算を必要とするもの、大半は、多量データにに対する類型的な演算を行なうを中心である。

その二の類型的な演算 — 例えば行列演算、ラプラス変換、フーリエ変換等 — を行なう専用的な処理装置と従来の計算機の附置しようとしたが、それが考案されたのが Array Processor である。

Array Processor は CPU の演算回路に直接組込まれてではなく、独立したネットとして接続される。計算機との接続の方式には、

- 1) チャネルと同一の位置
 - 2) 入出力装置と同一の位置
- の二種がある。

主な利用分野としては、放射測定データの処理（分析、振動、生体情報、地図、天文）、プロセス・シミュレーション（プロセス・コントロール）、ログラフィ、パターン認識、画像情報処理等、極めて広範囲にわたっている。デジタル・フィルター、フーリエ変換、パワースペクトル解析、自己相関等の処理に主に利用される。

II. Array Processor 2938 I → II.

a) 計算機との結合.

IBM 2938 Array

Processor は右図のように
計算機のチャネルと同じ位
置にあり、セレクタ-チャネル
と並列に接続される。接
続できる機器は、チャネル9
速度の速から。

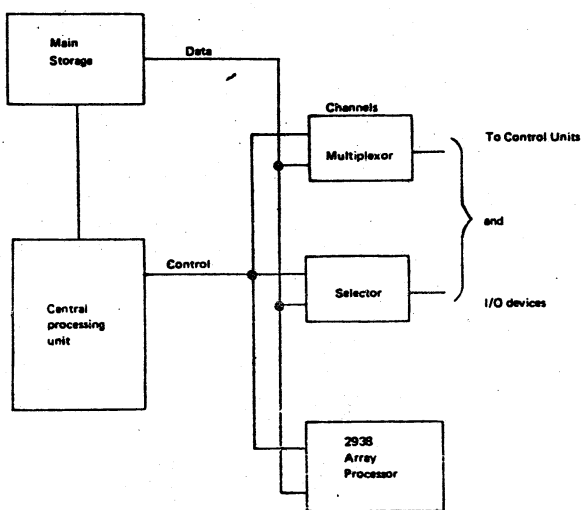


図1.

I. 2938 Array Processor basic interface with System/360

S/360-M65,M75 (2938-M2) 及 M44 (2938-M1) である。

b) 基本的なオペレーション

Array Processor のオペレーター

一連は、SIO (Start I/O)

命令は、まずはじめられる

Array Processor と SIO を受け

入力3種類、Array Processor は、

アドレス CAW (Channel Address Word)

- CCW (Address) 及び CCW

(Channel Command Word - command,

data address length etc) である。

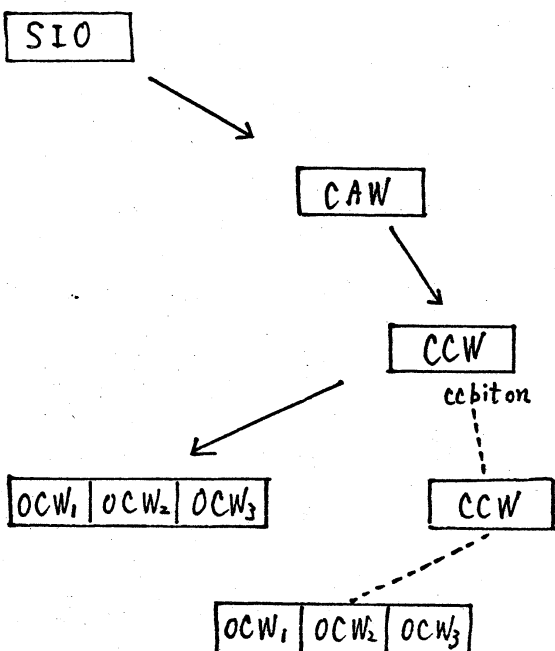


図2. Array Processor のオペレーション

受け入れ CPU と組みにオペレーショニエ開始す。

Array 演算の種類は command code 1=2, 2 で別わす。
CCWの中の

处理されす Array の性質は OCW (Operand Control Word)
に記述されており。Array の始点の基地、Array の大きさ、インデックス、データモード（浮動小数点、固定小数点）等の情報が入、
てます。

c) 基本的な命令

IBM 2938 Array Processor は次のようすがハーフワード1回
足し算並びにビット・ワード浮動小数点演算を実行できす。ほか
これら演算の結果はプログラムによって指定されす result
field へ加算す。左側の二ヶ所 (Stacking) が可能で

- ① データ形式の变换を行なうベクトルの転送
- ② ベクトル演算
- ③ ハーフワード演算

の 3 種に分かれる。

1. Vector Move / Convert

i) 固定小数点と浮動小数点の間の Move す。
ii) 浮動小数点とそのまゝ Move す。

2. Vector Floating Point to Fixed-Point Convert

浮動小数点と固定小数点の間の変換す。

3. Convolution Multiply (Stacking 方法)

$Z \geq 0$ Data Array 有 $\frac{1}{3}$ 行 \times 3 Element \times $\frac{1}{3}$ 列 \in result field

$1 \times 2 \times 3$.

$$Y(i) = Y(i) + \sum_{j=1}^n [U(j) X(i+j-1)]$$

§3(1)

$$Y(1) = U_1 X_1 + U_2 X_2 + U_3 X_3 + \dots + U_n X_n$$

$$Y(2) = U_1 X_2 + U_2 X_3 + U_3 X_4 + \dots + U_n X_{n+1}$$

$$Y(3) = U_1 X_3 + U_2 X_4 + U_3 X_5 + \dots + U_n X_{n+2}$$

.....

$$Y(n) = U_1 X_n + U_2 X_{n+1} + \dots + U_n X_{2n-1}$$

4. Partial Matrix Multiplication (Stacking 方法)

$X_1 \leq 1 - 1 \geq 2 \times 0 1 \geq 9$ row \times $X_2 = 1 - 1 \geq 2 \times 0 1$

$X_2 \geq 2$ column \in 結果 \in result field $1 \times 2 \times 3$.

$$Y(i) = Y(i) + \sum_{j=1}^n [X(j) U((i-1)p+j)]$$

§3(1)

$$Y(1) = X_1 U_1 + X_2 U_2 + \dots + X_n U_n$$

$$Y(2) = X_1 U_{n+1} + X_2 U_{n+2} + \dots + X_n U_{2n}$$

$$Y(3) = X_1 U_{2n+1} + X_2 U_{2n+2} + \dots + X_n U_{3n}$$

.....

$$Y(m) = X_1 U_{(m-1)n+1} + X_2 U_{(m-1)n+2} + \dots + X_n U_{(m-1)n+n}$$

5. Vector Inner Product (Stacking 方法)

2. \rightarrow Vector の 累加 \oplus 3 element の 累加 \oplus result field \rightarrow $n \times 3$.

$$Y = Y + \sum_{j=1}^n [U(j) \cdot X(j)]$$

6. Sum of Squares (Stacking TYPE)

1 \rightarrow Array の element の 2乗 の 累加 \oplus result field $\rightarrow n \times 1$.

$$Y = Y + \sum_{j=1}^n X(j)^2$$

7. Sum of Vector Element (Stacking TYPE)

1 \rightarrow Array の element の 累加 \oplus result field $\rightarrow n \times 1$.

$$Y = Y + \sum_{j=1}^n X(j)$$

8. Convolving Addition (Stacking TYPE)

$$Y(i) = Y(i) + \sum_{j=1}^n | [X(i+j-1) + U(j)] |$$

{3}

$$Y(1) = |X_1 + U_1| + |X_2 + U_2| + |X_3 + U_3| + \dots + |X_n + U_n|$$

$$Y(2) = |X_2 + U_1| + |X_3 + U_2| + |X_4 + U_3| + \dots + |X_{n+1} + U_4|$$

$$Y(3) = |X_3 + U_1| + |X_4 + U_2| + |X_5 + U_3| + \dots + |X_{n+2} + U_n|$$

....

$$Y(m) = |X_m + U_1| + |X_{m+1} + U_2| + |X_{m+2} + U_3| + \dots + |X_{m+n-1} + U_n|$$

9. Vector Element-by-Element Multiply (Stacking TYPE)

2 \rightarrow Array の 累加 \oplus 3 element の 累加 \oplus 2 新 array

Array $\rightarrow < 3$.

$$Y(i) = Y(i) + U(i)X(i)$$

10. Signed, Vector Element-by-Element squared (Stacking $\oplus \bar{\oplus}$)

1 \rightarrow Array の element $y^i =$ 各 x^i の $|x^i|$ の符号を保つ。

$$Y(i) = Y(i) + X(i) |X(i)|$$

11. Vector Element-by-Element Sum or Difference (Stacking $\oplus \bar{\oplus}$)

2 \rightarrow Array の element $y^i =$ 各 element x^i の x^i と y^i の差の result field $= x^i - y^i$ の y^i 。

$$Y(i) = V(i) \pm X(i)$$

12. Scalar Multiply (Stacking $\otimes \bar{\otimes}$)

1 \rightarrow Array の element $y^i =$ 各 x^i の定数倍 U の y^i result field $= x^i \cdot U$ の y^i .

$$Y(i) = Y(i) + X(i) U$$

上記 1. ~ 12. のオペレーターは他に更に特殊装置を設置すれば $i = 1, 2, \dots, N$ で特別な演算を行なうことができる。

A. 五点型の定数係数線形四階差分方程式の演算

$$Y(k) = Y(k) + a U(k) + \sum_{i=1}^4 a_i X_i(k)$$

B. FFT (Fast Fourier Transform)

8. の "Convolving add" と "重ねか一方の設置" が可。

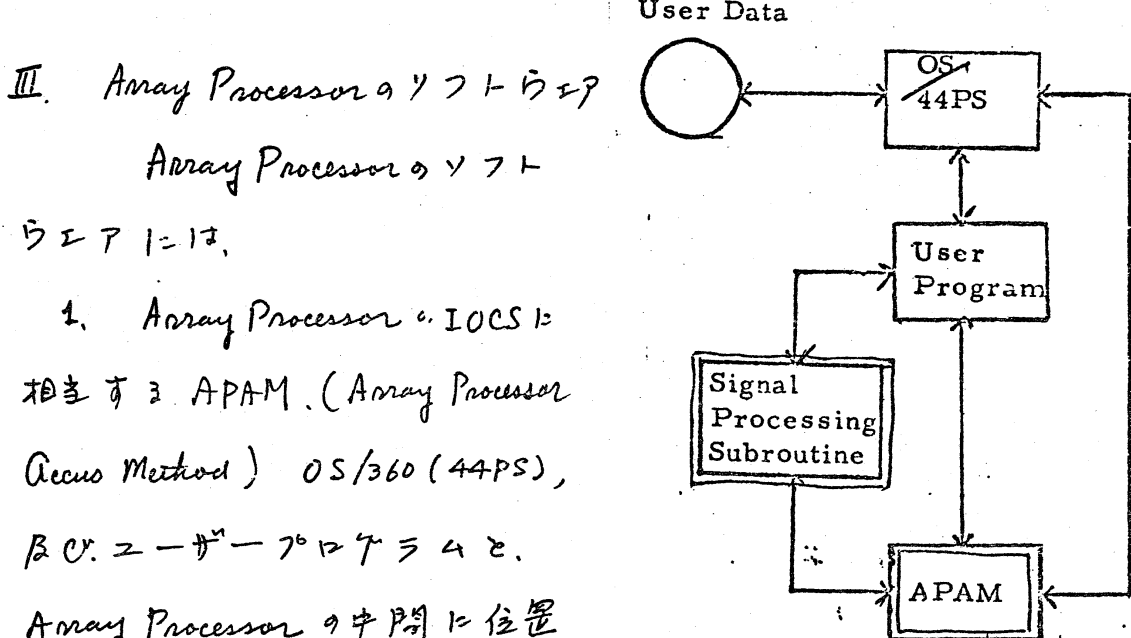
複素数のデータのフーリエ変換を Cooley-Tukey の方法で実現する。従来の直接的方法では標本点数 N に対して N^2 に比例した計算が必要だが Tukey-Cooley の方法では、

$N \log N$ に比例するので、大規模な Fourier 变換に向適しており、(か) Array Processor のハートウェアヒルはそれを実行する。

例：1024 の標本に対する Fourier 变換 60~90 msec.

C. SCAN MAX

FFT や Convolving add などの場合に設置可



ウェア 1/360,

1. Array Processor の IOCS は相当する APAM. (Array Processor Access Method) OS/360 (44PS), BCPL などと同一である。

Array Processor の中間に位置するモジュールである。

2. Array Processor の主な制御命令である信号処理には直接 subroutine 形式で Signal Processing Subroutine が用意されてしまう。(図 3)

これらも FORTRAN-CALL の形式で利用可能である。

a) 所要構成

APAM. Signal Processing subroutines 9 つが Fortran
GZFH (ZEN PS-Fortran) Assembler で利用でき。3
所要工数容量は APAM 8KBST ~ 6.5KBST。

Signal Processing Subroutines

12 KBST.

である。

b) APAM の利用法

ユーザードライバで。CALLステートメントによ、て利用
する。

一般形

CALL APAM ('mmms' ISTATE, HVAL, YARR, ICTY,
INDY, IFMY, XARR, ICIX, INDX, IFMX, VARR,
ICTU, INDU, IFMU, YARR 2)

mmm: operation code s: extensions

c) Signal Processing Subroutines 9 つ

Signal Processing Subroutines 15

(1) Frequency Selective digital filter

(2) Signal Selective Filter

の 2 種がある。後者 15 と 1 の実装の解説が中心である。

前者の Frequency Selective Digital Filter は。1 次元 & 2 次元

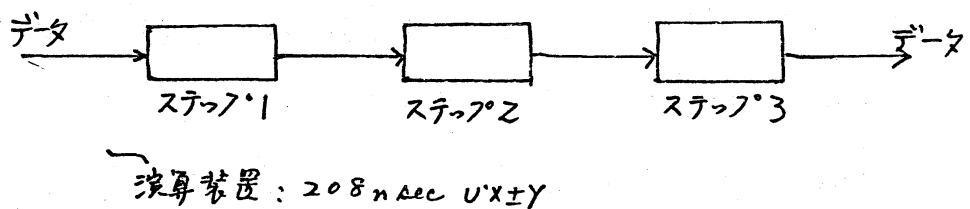
の半分があり、2次元の filter は 宽形フィルター 及び扇形フィルター の2種類ある。

一次元の filter レコードには 11 個。

Low Pass, High Pass, Band Pass, Band Reject のタイプがあり Butterworth, Chebychev, elliptic 並びに対応した sub-routines がある。

III 性能

2938 Array Processor の演算装置は、短時間浮動小数点のデータに $Z = U^T X + Y$ の演算を行ふ。この演算装置は組み立てラインと同様、演算装置を通してプロセスされ、それが部分的に得られた結果を保持していふ。



この演算装置に対し最高レートでデータを入力すると、上記演算は約 208 nsec で行われる。Array Processor が持つ特徴のオペレーションを行う全体の時間は、この演算装置の基本的な速度で、この装置に入り出すデータの速度によって定まる。中间結果の保存のため 32ビットのレジスタ一式個を有し

換算装置と同じ速度で同期する。2938 Array Processor は、4MHz
LVと同様に CPU のデータバスに接続されるので、Array Processor
がデータを送受できる速度は、データバスの許容速度と使用率
によって制限される。

M75 の場合の性能。

A. 行列積

100×100 次元行列積

- a. CPU only 43. sec.
- b. Array Processor 1.44
- c. 性能比 29倍

B. ディジタル・フィルター

3000 ハンブルル＝チャ 500 ハンルーターを使用した convolution

- a. ?
- b. ?
- c. 性能比 30倍

1. * IBM System/360 Custom Feature Description: 2938 Array Processor, Model 1 -RPQ W24563 and Model2 -RPQ 815188 (A24-3519)
2. R. M. Golden and J. F. Kaiser, "Design of Wide-band Sampled-Data Filters", Bell Systems Technical Journal, July, 1964, pp. 1533-1546
3. J. E. Shore, Passive Network Synthesis, McGraw-Hill Book Co., Inc., New York, 1960.
4. M. E. Van Valkenburgh, Modern Network Synthesis, John Wiley and Sons, Inc., New York, 1960
5. E. A. Guillemin, Synthesis of Passive Networks, John Wiley and Sons Inc., New York, 1957
6. P. E. Mantey, "Eigenvalue Sensitivity and State-Variable Selection" IEEE Trans on Automatic Control, Vol. AC-13, No. 3, June, 1968.
7. * IBM System/360 Scientific Subroutine Package (360 A-CM-03X) Version III Programmer's Manual (H20-0205)
8. M. M. Bakus, "Water Reverberations-Their Nature and Elimination" Geophysics, Vol. 24, 1953, p. 233.
9. R. J. Watson, "Decomposition and Suppression of Multiple Reflections", Geophysics, Vol. 30, 1965, p. 54.
10. G. Kunetz, "Generalisation des operateurs d antiresonance a un nombre quelconque de reflecteurs", Geophysical Prospecting, Vol. 12, 1964, p. 283.
11. D. Middleton and J. R. B. Whittlesley, "Seismic Models and Deterministic Operators for Marine Reverberation", 35th Annual International Meeting of the Society of Exploration Geophysicists, 1965, Dallas, Texas.
12. W. T. Ford and J. H. Hearne, "Least-Squares Inverse Filtering", 35th Annual International Meeting of the Society of Exploration Geophysicists, 1965, Dallas, Texas.
13. P. Embree, J. P. Burg, and M. M. Backus, "Wideband Velocity Filtering - The Pieslice Process", Geophysics, Vol. 28, 1963, pp. 948-974.

14. S. Treitel, J. L. Shanks, and C. W. Frasier, "Some Aspects of Fan Filtering", Geophysics, Vol. 32, 1967, pp. 780-800
15. J. P. Fail and G. Grau, "Les Filtres en Eventail", Geophysical Prospecting, Vol. 11, 1963, pp. 131-163.

* IBM Sales Reference Manual